



# Organisation nationale de lutte contre le faux-monnayage (ONCFM)

## Système de détection des faux billets

**Arnaud Golliot**  
**Senior Data Consultant**  
**1<sup>ier</sup> septembre 2025**

# Sommaire

## 1. Objectif de l'étude

## 2. Imputation des valeurs manquantes

## 3. Modèles prédictifs

- ✓ Quelques notions préalables
- ✓ Vérification de non colinéarité
- ✓ Régression logistique (MLE)
- ✓ Kmeans Clustering
- ✓ Classification KNN
- ✓ Random Forest

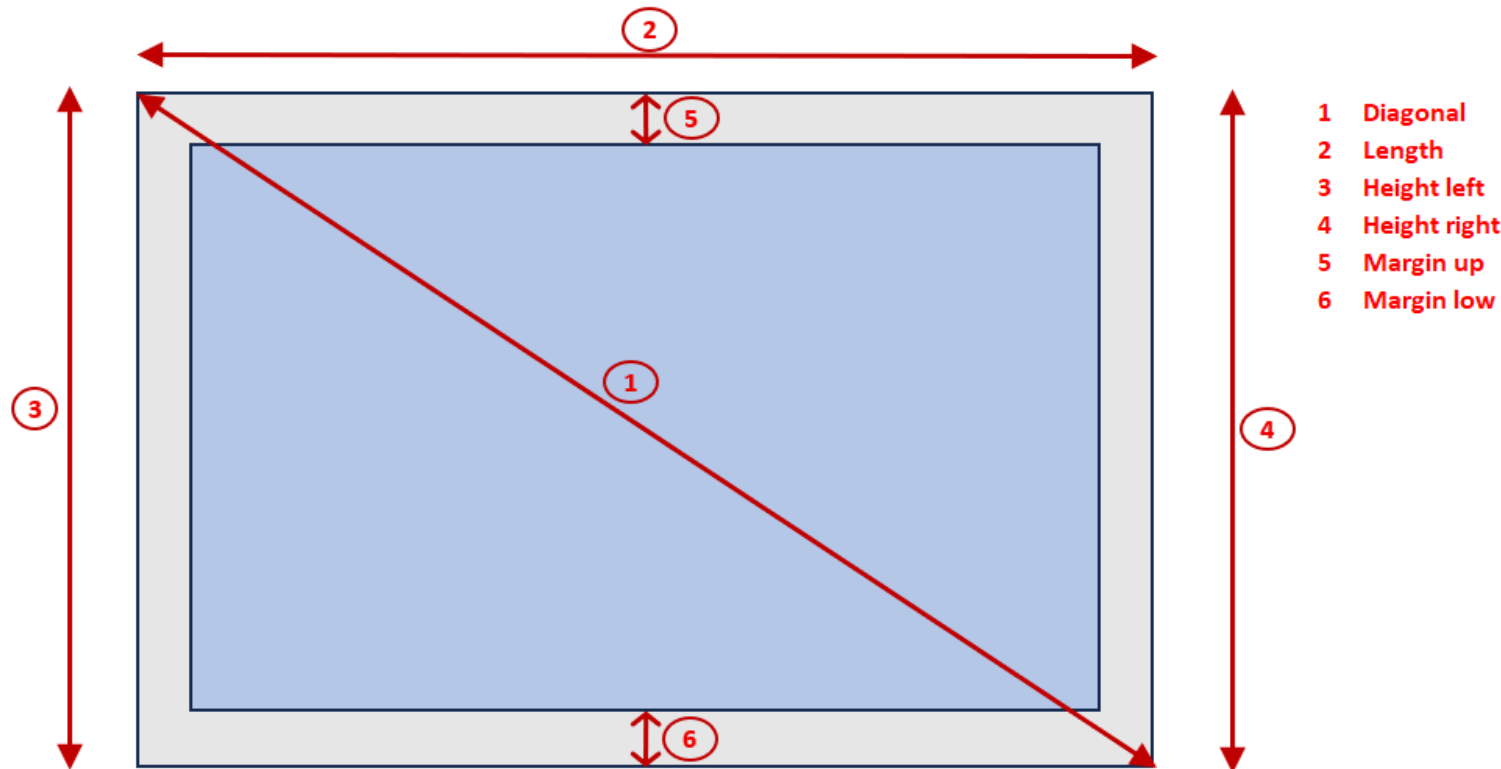
## 4. Conclusion de l'étude

## 5. Limites de l'étude

# **1 – Objectifs de l'étude**

# 1. Objectifs de l'étude

Sur la base des 6 mesures ci-dessous, implanter un système automatique de détection des faux billets



## **2 – Imputation des valeurs manquantes**

## 2. Imputation des valeurs manquantes [1/2]

OLS Regression Results									
Dep. Variable:	margin_low	R-squared:	0.993						
Model:	OLS	Adj. R-squared:	0.992 <th data-cs="3" data-kind="parent"></th> <th data-kind="ghost"></th> <th data-kind="ghost"></th>						
Method:	Least Squares	F-statistic:	2718.						
Date:	Fri, 29 Aug 2025	Prob (F-statistic):	2.91e-104						
Time:	11:09:45	Log-Likelihood:	205.27						
No. Observations:	105	AIC:	-398.5						
Df Residuals:	99	BIC:	-382.6						
Df Model:	5								
Covariance Type:	nonrobust								
	coef	std err	t	P> t	[0.025	0.975]			
diagonal	-0.1323	0.013	-10.181	0.000	-0.158	-0.107			
height_left	0.1632	0.014	12.069	0.000	0.136	0.190			
height_right	0.2788	0.014	19.630	0.000	0.251	0.307			
margin_up	0.2717	0.019	14.498	0.000	0.235	0.309			
length	-0.4051	0.005	-73.691	0.000	-0.416	-0.394			
intercept	26.0736	3.091	8.434	0.000	19.940	32.207			
Omnibus:	7.176	Durbin-Watson:	2.105						
Prob(Omnibus):	0.028	Jarque-Bera (JB):	3.580						
Skew:	0.207	Prob(JB):	0.167						
Kurtosis:	2.195	Cond. No.	2.27e+05						

OLS LINEAR REGRESSION	
Count(X)	1463.0
Count(y)	1463.0
Count(X_train)	105.0
Count(y_train)	105.0
Count(X_test)	293.0
Count(y_test)	293.0
Count(y_pred)	293.0
R2 (First iteration)	0.47
R2 (Last iteration)	0.99
Shapiro pvalue	0.08
Précision	92.02

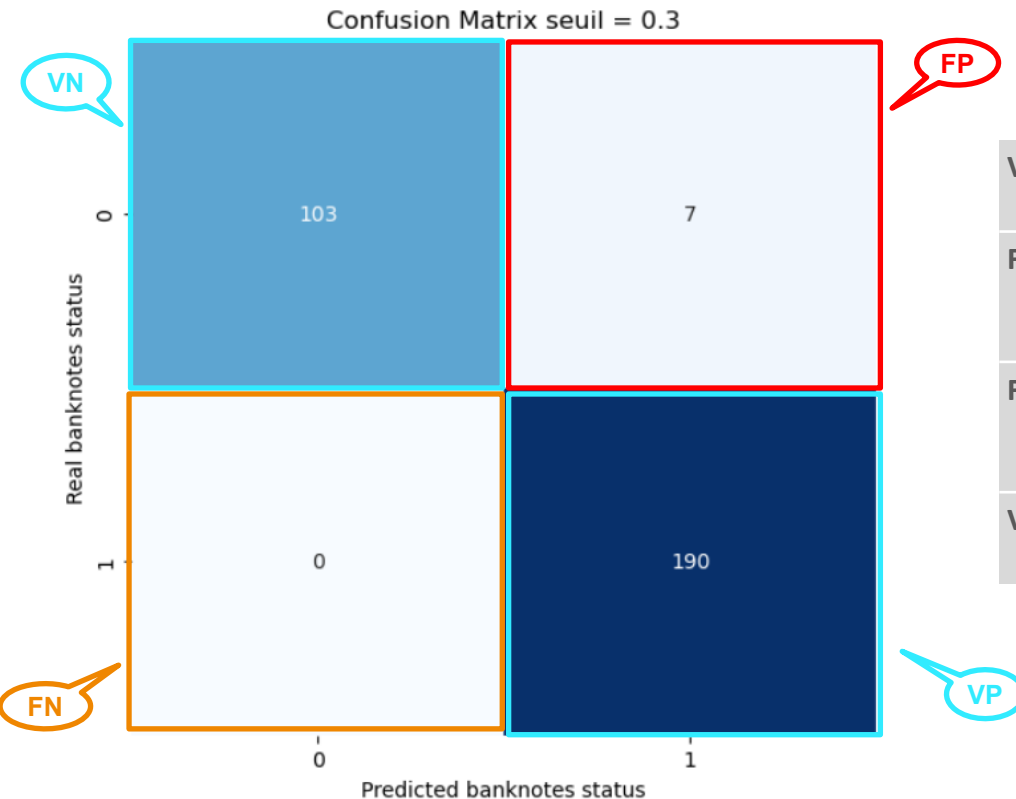
Annexe : processus itératif d'optimisation du modèle (obtenir pour le test de Shapiro sur les résidus standardisés une Pvalue > 0.05)

## 2. Imputation des valeurs manquantes [2/2]

<b>predicted_margin_low</b>		<b>predicted_margin_low (ols standard)</b>	
72	4.31	780	4.07
99	4.40	798	3.62
151	4.42	844	4.39
197	4.35	845	4.09
241	4.65	871	4.26
251	3.80	895	3.90
284	4.19	919	3.74
334	4.14	945	4.23
410	4.12	946	4.74
413	4.15	981	4.13
445	4.15	1076	5.06
481	3.78	1121	4.81
505	4.06	1176	5.07
611	4.30	1303	5.02
654	4.15	1315	4.78
675	4.10	1347	5.73
710	4.44	1435	5.18
739	4.47	1438	5.14
742	4.34		

## **3 – Modèles prédictifs**

### 3.1 Modèles prédictifs : quelques notions préalables



<b>VN (Vrais Négatifs)</b>	Nombre de billets dont le statut réel et prédit est faux
<b>FP (Faux Positifs)</b>	Nombre de billets dont le statut prédit est vrai alors que le statut réel est faux <i>A minimiser impérativement</i>
<b>FN (Faux Négatifs)</b>	Nombre de billets dont le statut prédit est faux alors que le statut réel est vrai <i>A minimiser idéalement</i>
<b>VP (Vrais positifs)</b>	Nombre de billets dont le statut réel et prédit est vrai

### 3.1 Modèles prédictifs : vérification de non colinéarité des variables prédictives

Calcul du variance\_inflation\_factor (VIF) pour chacune de variable prédictive des données d'entraînement (X\_train).

Un score supérieur à 1 pour toutes les variables prédictives confirme qu'elles sont toutes indépendantes les unes des autres

	Attribute	VIF Scores
0	diagonal	169608.194308
1	height_left	115336.336244
2	height_right	104539.727245
3	margin_low	90.755053
4	margin_up	263.860126
5	length	31241.821380

### **3.2 – Modèles prédictifs : Régression logistique MLE (Maximum Likelihood Estimation)**

## 3.2 Modèles prédictifs : régression logistique MLE [1/3]

Model:	Logit		Method:	MLE		
Dependent Variable:	is_genuine		Pseudo R-squared:	0.952		
Date:	2025-08-31 20:39		AIC:	86.6362		
No. Observations:	1200		BIC:	122.2667		
Df Model:	6		Log-Likelihood:	-36.318		
Df Residuals:	1193		LL-Null:	-756.70		
Converged:	1.0000		LLR p-value:	3.6192e-308		
No. Iterations:	13.0000		Scale:	1.0000		
	Coef.	Std.Err.	z	P> z	[0.025	0.975]
<b>diagonal</b>	-0.3386	1.1429	-0.2962	0.7671	-2.5787	1.9016
<b>height_left</b>	-1.8980	1.2709	-1.4935	0.1353	-4.3888	0.5929
<b>height_right</b>	-2.2359	1.0916	-2.0482	0.0405	-4.3754	-0.0963
<b>margin_low</b>	-5.3575	0.9827	-5.4519	0.0000	-7.2836	-3.4315
<b>margin_up</b>	-8.7177	2.1010	-4.1494	0.0000	-12.8355	-4.5999
<b>length</b>	5.6808	0.9094	6.2465	0.0000	3.8984	7.4633
<b>intercept</b>	-98.4322	257.7129	-0.3819	0.7025	-603.5402	406.6758

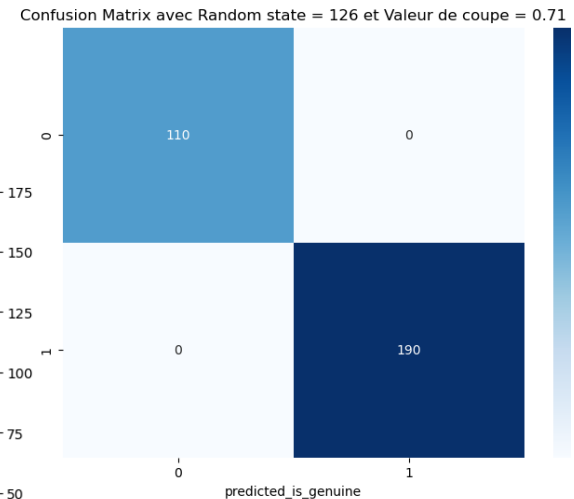
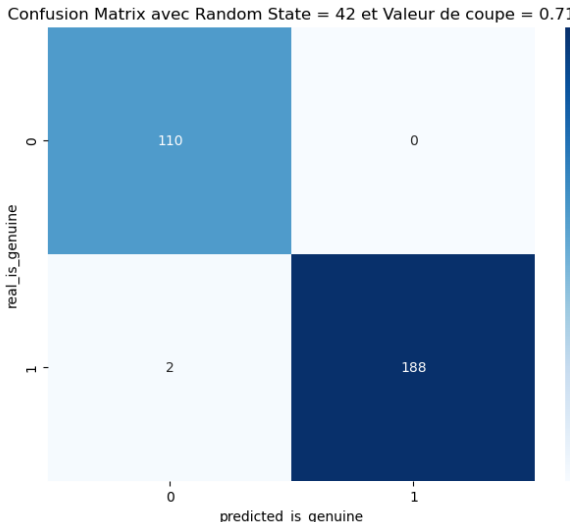
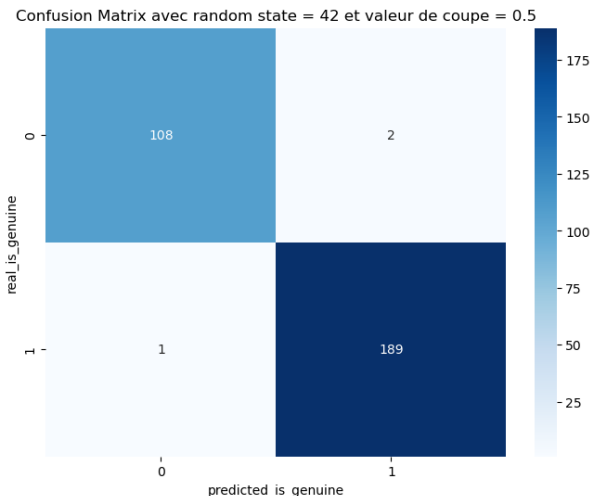
## 3.2 Modèles prédictifs : régression logistique MLE [2/3]

FIRST LOGIT REGRESSION MODEL	
Random State	42.0
Valeur de coupe	0.5
count(X)	1500.0
count(y)	1500.0
count(X_train)	1200.0
count(y_train)	1200.0
count(X_test)	300.0
count(y_test)	300.0
count(y_pred)	300.0
Accuracy	0.990000
RMSE	0.010000
MAPE	300239975158023.308594
Précision (directe)	-3002399751580231.000000
Précision (calculée)	-inf
Précision (ajustée)	99.00
VN	108.0
FP	2.0
FN	1.0
VP	189.0

INTERMEDIATE LOGIT REGRESSION MODEL	
Random State	42.0
Valeur de coupe	0.7
count(X)	1500.0
count(y)	1500.0
count(X_train)	1200.0
count(y_train)	1200.0
count(X_test)	300.0
count(y_test)	300.0
count(y_pred)	300.0
Accuracy	0.993333
RMSE	0.006667
MAPE	0.006667
PRECISION (DIRECTE)	99.330000
PRECISION (CALCULEE)	98.947368
PRECISION (AJUSTEE)	99.33
VN	110.0
FP	0.0
FN	2.0
VN	188.0

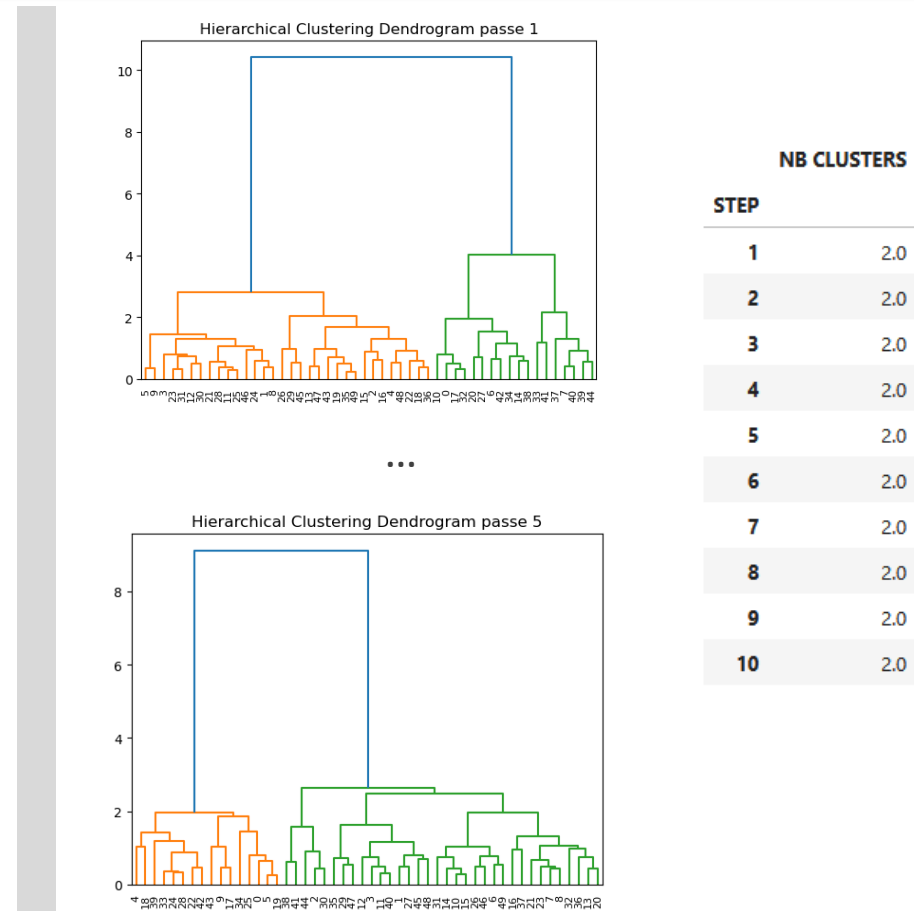
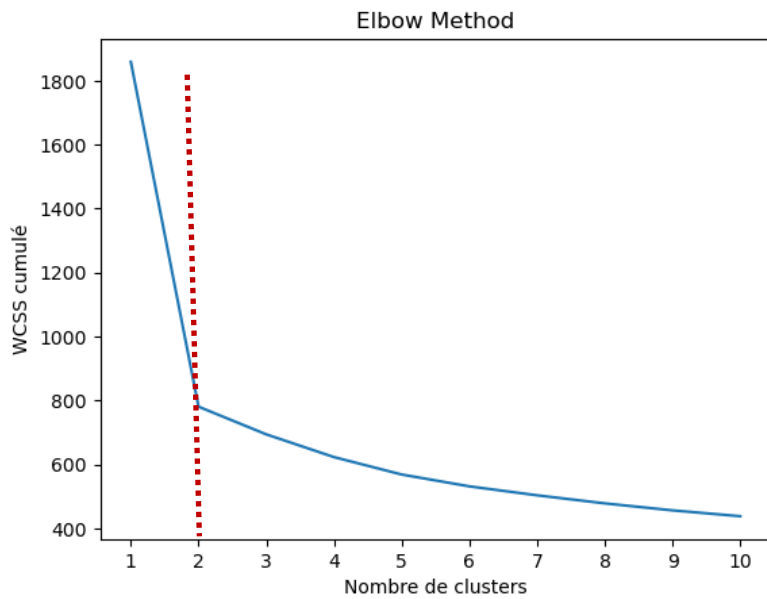
OPTIMAL LOGIT REGRESSION MODEL	
Random state value	126.0
Valeur de coupe	0.71
count(X)	1500.0
count(y)	1500.0
count(X_train)	1200.0
count(y_train)	1200.0
count(X_test)	300.0
count(y_test)	300.0
count(y_pred)	300.0
Accuracy	0.993333
RMSE	0.006667
MAPE	0.006667
Précision (directe)	99.33
Précision (calculée)	100.00
Précision (ajustée)	100.0
VN	110.0
FP	0.0
FN	0.0
VP	190.0

## 3.2 Modèles prédictifs : régression logistique MLE [3/3]



## **3.3 – Modèles prédictifs : Kmeans Clustering**

### 3.3 Modèles prédictifs : Kmeans Clustering [1/3]



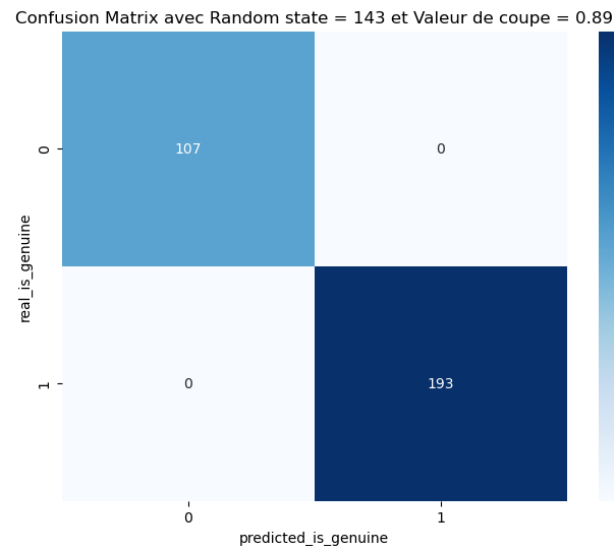
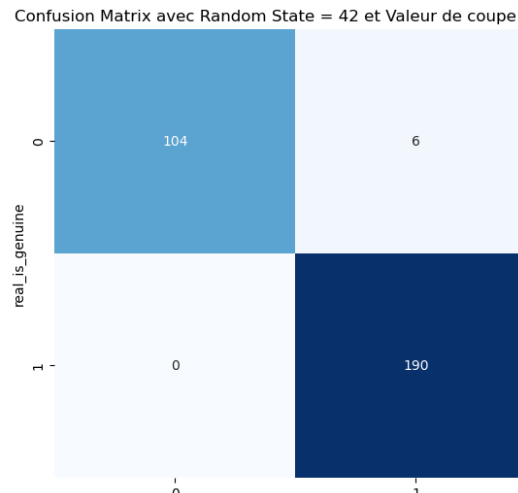
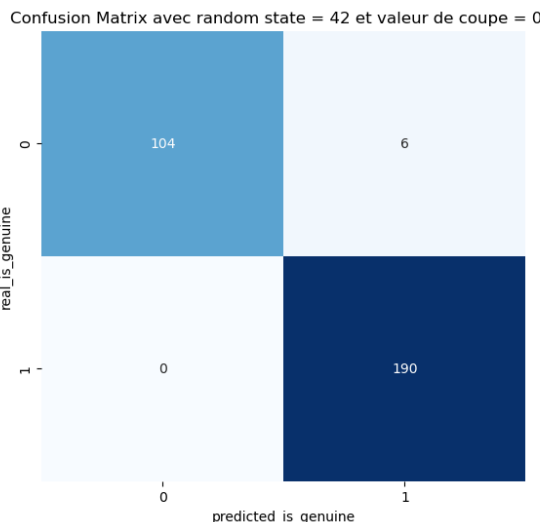
### 3.3 Modèles prédictifs : Kmeans Clustering [2/3]

FIRST KMEANS CLUSTERING MODEL	
Random State	42.0
Valeur de coupe	0.5
count(X)	1500.0
count(y)	1500.0
count(X_train)	1200.0
count(y_train)	1200.0
count(X_test)	300.0
count(y_test)	300.0
count(y_pred)	300.0
Accuracy	0.980000
RMSE	0.020000
MAPE	90071992547409.921875
Précision (directe)	-9007199254740892.000000
Précision (calculée)	-inf
Précision (ajustée)	98.00
VN	104.0
FP	6.0
FN	0.0
VP	190.0

INTERMEDIATE KMEANS CLUSTERING MODEL	
Random State	42.0
Valeur de coupe	0.89
count(X)	1500.0
count(y)	1500.0
count(X_train)	1200.0
count(y_train)	1200.0
count(X_test)	300.0
count(y_test)	300.0
count(y_pred)	300.0
Accuracy	0.980000
RMSE	0.020000
MAPE	90071992547409.921875
Précision (directe)	-9007199254740892.000000
Précision (calculée)	-inf
Précision (ajustée)	98.00
VN	104.0
FP	6.0
FN	0.0
VN	190.0

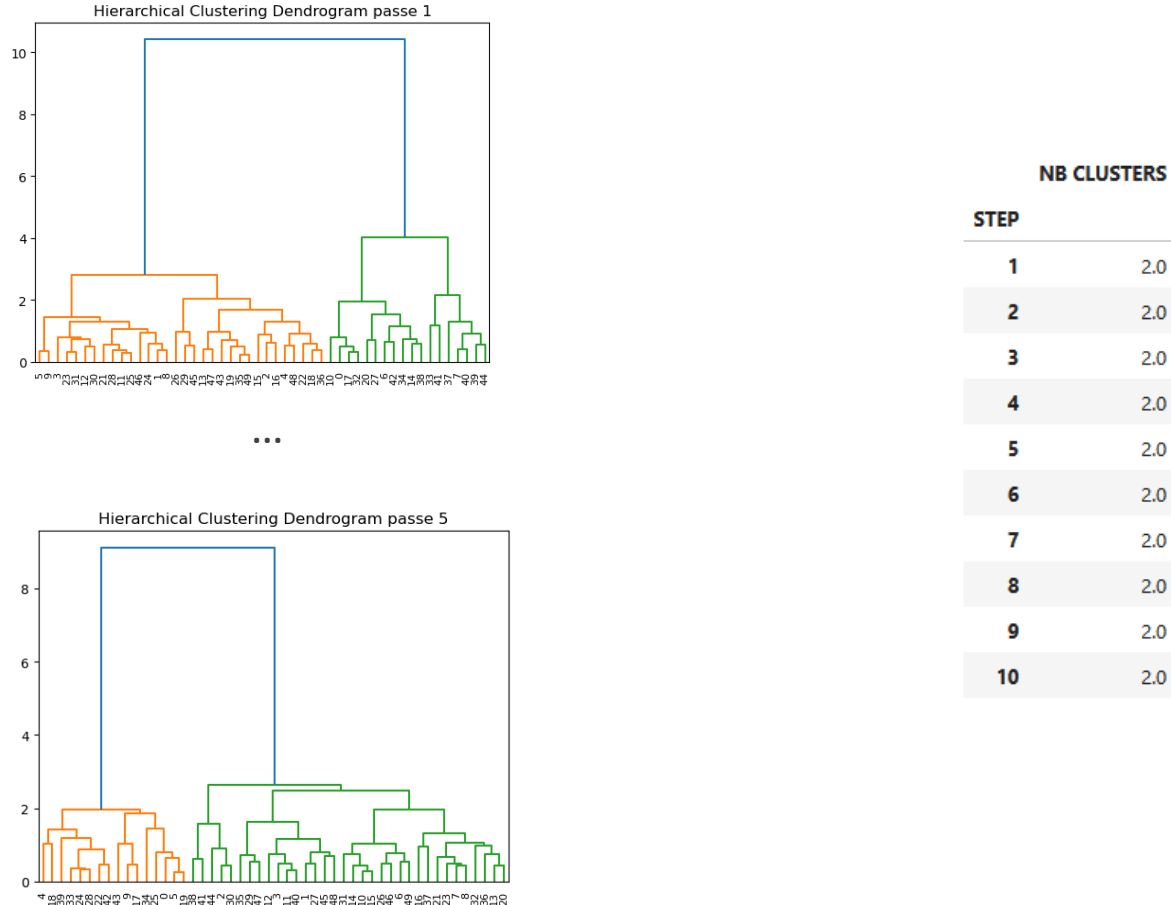
FINAL KMEANS CLUSTERING MODEL	
Random state value	143.0
Valeur de coupe	0.89
count(X)	1500.0
count(y)	1500.0
count(X_train)	1200.0
count(y_train)	1200.0
count(X_test)	300.0
count(y_test)	300.0
count(y_pred)	300.0
Accuracy	0.980000
RMSE	0.020000
MAPE	90071992547409.921875
Précision (directe)	-9007199254740892.00
Précision (calculée)	100.00
Précision (ajustée)	100.00
VN	107.0
FP	0.0
FN	0.0
VP	193.0

### 3.3 Modèles prédictifs : Kmeans Clustering [3/3]



## **3.4 – Modèles prédictifs : Classification KNN**

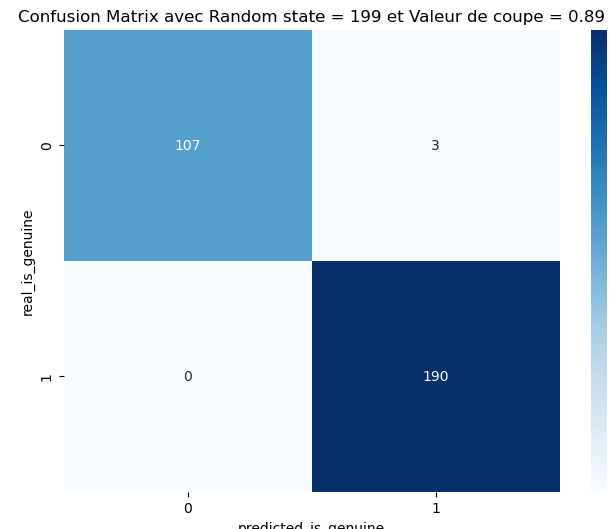
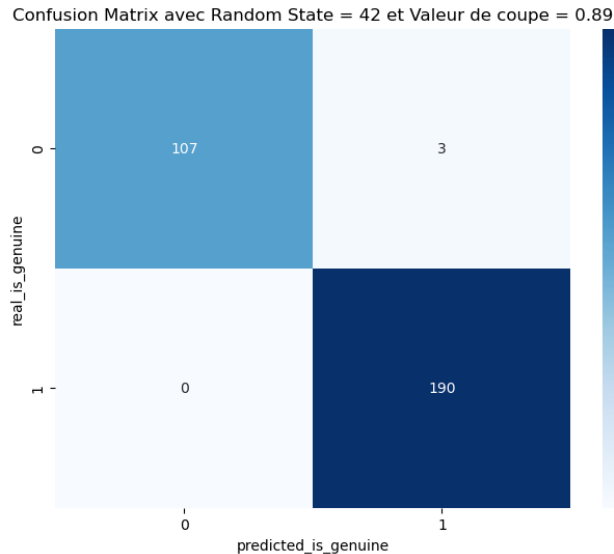
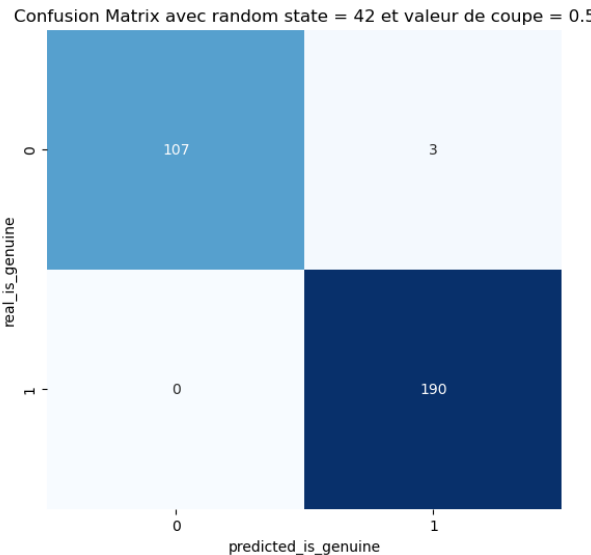
## 3.4 Modèles prédictifs : Classification KNN [1/3]



## 3.4 Modèles prédictifs : Classification KNN [2/3]

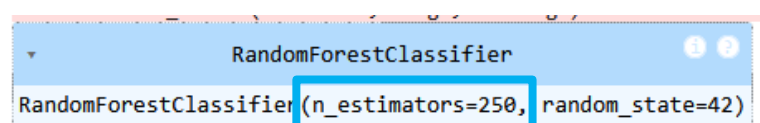
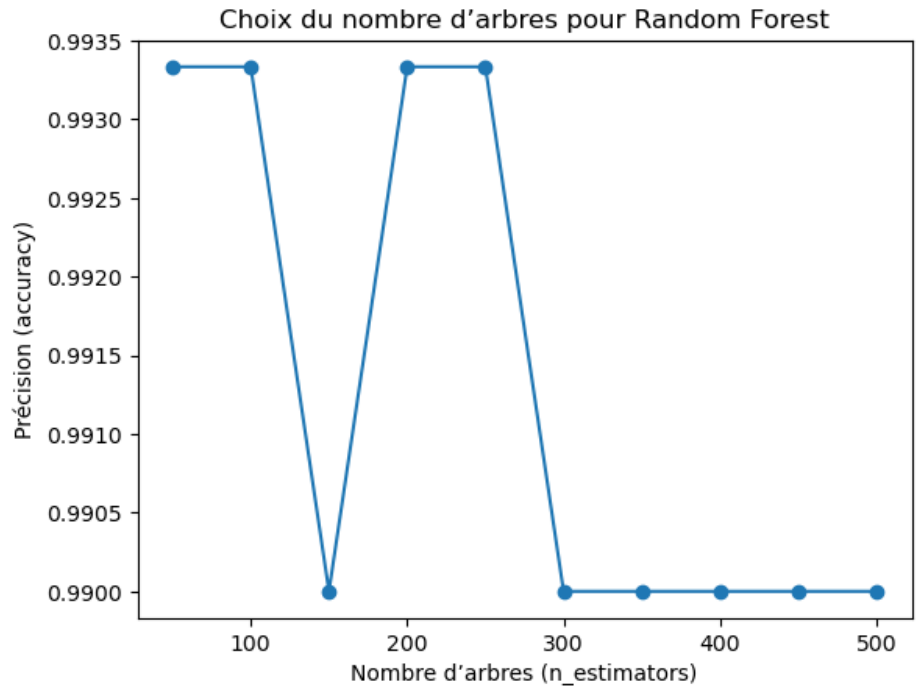
INITIAL KNN MODEL		INTERMEDIATE KNN MODEL		FINAL KNN MODEL	
<b>Random state value</b>	42.0	<b>Random State</b>	42.0	<b>Random state value</b>	199.0
<b>Valeur de coupe</b>	0.50	<b>Valeur de coupe</b>	0.89	<b>Valeur de coupe</b>	0.89
<b>count(X)</b>	1500.0	<b>count(X)</b>	1500.0	<b>count(X)</b>	1500.0
<b>count(y)</b>	1500.0	<b>count(y)</b>	1500.0	<b>count(y)</b>	1500.0
<b>count(X_train)</b>	1200.0	<b>count(X_train)</b>	1200.0	<b>count(X_train)</b>	1200.0
<b>count(y_train)</b>	1200.0	<b>count(y_train)</b>	1200.0	<b>count(y_train)</b>	1200.0
<b>count(X_test)</b>	300.0	<b>count(X_test)</b>	300.0	<b>count(X_test)</b>	300.0
<b>count(y_test)</b>	300.0	<b>count(y_test)</b>	300.0	<b>count(y_test)</b>	300.0
<b>count(y_pred)</b>	300.0	<b>count(y_pred)</b>	300.0	<b>count(y_pred)</b>	300.0
<b>Accuracy</b>	0.990000	<b>Accuracy</b>	0.540000	<b>Accuracy</b>	0.990000
<b>RMSE</b>	0.010000	<b>RMSE</b>	0.460000	<b>RMSE</b>	0.010000
<b>MAPE</b>	45035996273704.960938	<b>MAPE</b>	1140911905600525.750000	<b>MAPE</b>	45035996273704.960938
<b>Précision (directe)</b>	-4503599627370396.00	<b>Précision (directe)</b>	-114091190560052464.000000	<b>Précision (directe)</b>	-4503599627370396.00
<b>Précision (calculée)</b>	-inf	<b>Précision (calculée)</b>	-inf	<b>Précision (calculée)</b>	-inf
<b>Précision (ajustée)</b>	99.0	<b>Précision (ajustée)</b>	98.33	<b>Précision (ajustée)</b>	98.3
<b>VN</b>	107.0	<b>VN</b>	107.0	<b>VN</b>	107.0
<b>FP</b>	3.0	<b>FP</b>	3.0	<b>FP</b>	3.0
<b>FN</b>	0.0	<b>FN</b>	0.0	<b>FN</b>	0.0
<b>VP</b>	190.0	<b>VN</b>	190.0	<b>VP</b>	190.0

## 3.4 Modèles prédictifs : Classification KNN [3/3]



## **3.5 – Modèles prédictifs : Random Forest**

## 3.5 Modèles prédictifs : Random Forest [1/3]



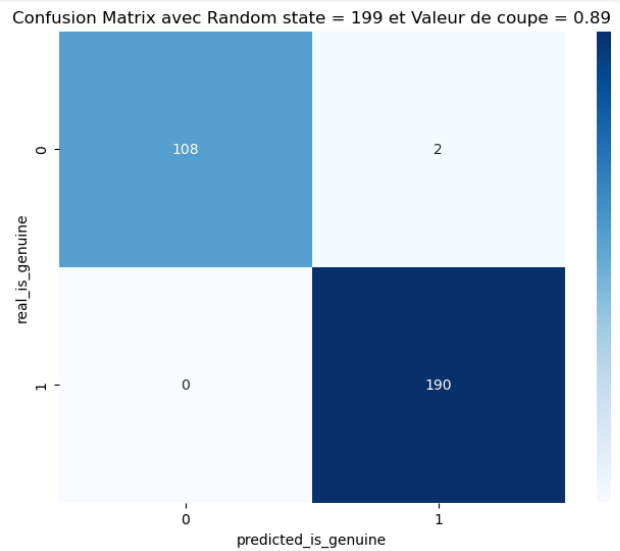
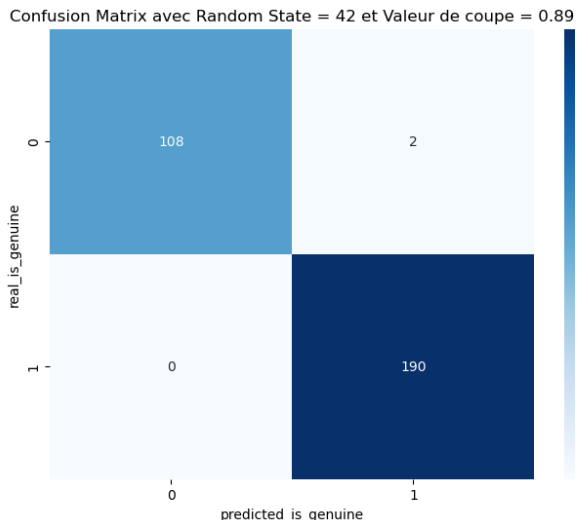
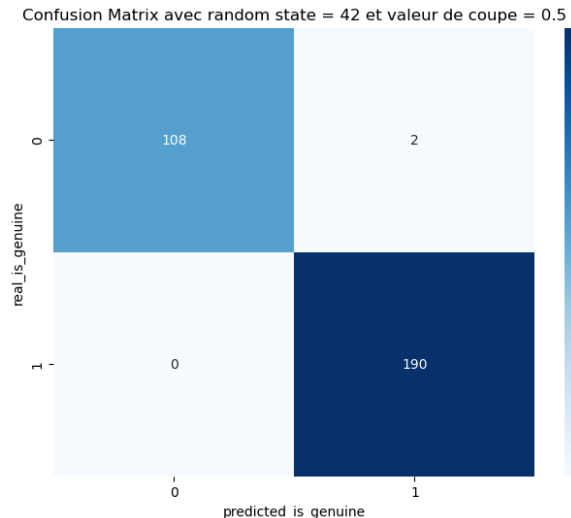
## 3.5 Modèles prédictifs : Random Forest [2/3]

INITIAL RANDOM FOREST	
Random state value	42.0
Valeur de coupe	0.50
count(X)	1500.0
count(y)	1500.0
count(X_train)	1200.0
count(y_train)	1200.0
count(X_test)	300.0
count(y_test)	300.0
count(y_pred)	300.0
Accuracy	0.993333
RMSE	0.006667
MAPE	30023997515803.308594
Précision (directe)	-3002399751580231.00
Précision (calculée)	-inf
Précision (ajustée)	99.3
VN	108.0
FP	2.0
FN	0.0
VP	190.0

INTERMEDIATE RANDOM FOREST	
Random State	42.0
Valeur de coupe	0.9
count(X)	1500.0
count(y)	1500.0
count(X_train)	1200.0
count(y_train)	1200.0
count(X_test)	300.0
count(y_test)	300.0
count(y_pred)	300.0
Accuracy	0.993333
RMSE	0.006667
MAPE	30023997515803.308594
Précision (directe)	-3002399751580231.000000
Précision (calculée)	-inf
Précision (ajustée)	99.33
VN	108.0
FP	2.0
FN	0.0
VN	190.0

FINAL RANDOM FOREST	
Random state value	199.0
Valeur de coupe	0.89
count(X)	1500.0
count(y)	1500.0
count(X_train)	1200.0
count(y_train)	1200.0
count(X_test)	300.0
count(y_test)	300.0
count(y_pred)	300.0
Accuracy	0.993333
RMSE	0.006667
MAPE	30023997515803.308594
Précision (directe)	-3002399751580231.00
Précision (calculée)	-inf
Précision (ajustée)	98.7
VN	108.0
FP	2.0
FN	0.0
VP	190.0

## 3.5 Modèles prédictifs : Random Forest [3/3]



## **4 – Conclusions de l'étude**

## 4. Conclusions de l'étude

Modèle	Modèle initial							Modèle optimisé (ou dégradé)							Commentaire
	Paramètres	R2 ou Accuracy	Précision	VN	FP	FN	VP	Paramètres	R2 ou Accuracy	Précision	VN	FP	FN	VP	
Régression logistique MLE	Cut : 0.5 Rstate : 42	0.99	99.0%	108	2	1	189	Cut : 0.71 Rstate : 126	0,993	99,33%	110	0	0	190	Un modèle optimisé avec effet report cohérent de FP sur VN (2) et de FN sur VP (1)
Kmeans	Cut : 0.5 Rstate : 42	0,98	98%	104	6	0	190	Cut : 0.89 Rstate : 143	0,98	100%	107	0	0	193	Un effet report incohérent de FP sur VN et de FN sur VP
KNN	Cut : 0.5 Rstate : 42	0.99	98.3%	107	3	0	190	Cut : 0.89 Rstate : 199	0,99	99,3%	107	3	0	190	Les optimisations sont sans effet sur ce modèle
Random Forest	Cut : 0.5 Rstate : 42	0.993	99.3%	108	2	0	190	Cut : 0.89 Rstate : 199	0,993	98.7%	108	2	0	190	Les optimisations sont sans effet sur ce modèle

## **5 – Limites de l'étude**

## 5. Limites de l'étude [1/2]

**Taille du jeu de données d'entraînement et de test** : Disposer d'un jeu de données d'entraînement et de test plus grand (15 000 billets au lieu de 1500 par exemple) de manière à vérifier la robustesse du modèle.

**Appliquer le principe de parcimonie au modèle de régression logistique** : Expliquer la variable "cible" ("is\_genuine") avec un minimum de variables prédictives (comment ? voir page suivante)

**Affermir la validité du modèle de régression logistique au moyen de l'homoscédasticité** : seule la vérification de normalité des résidus standardisés a été appliquée (Pvalue > 0.05 sur le test de Shapiro)

**Confronter le modèle de régression logistique MLE** (fonction Python Logit de la librairie StatsModels) avec le modèle de régression logistique OLS (fonction Python LogisticRegression de la librairie Sklearn)

## 5. Limites de l'étude [2/2]

Model:	Logit	Method:	MLE
Dependent Variable:	is_genuine	Pseudo R-squared:	0.952
Date:	2025-08-31 20:39	AIC:	86.6362
No. Observations:	1200	BIC:	122.2667
Df Model:	6	Log-Likelihood:	-36.318
Df Residuals:	1193	LL-Null:	-756.70
Converged:	1.0000	LLR p-value:	3.6192e-308
No. Iterations:	13.0000	Scale:	1.0000

	Coef.	Std.Err.	z	P> z	[0.025	0.975]
<b>diagonal</b>	-0.3386	1.1429	-0.2962	0.7671	-2.5787	1.9016
<b>height_left</b>	-1.8980	1.2709	-1.4935	0.1353	-4.3888	0.5929
<b>height_right</b>	-2.2359	1.0916	-2.0482	0.0405	-4.3754	-0.0963
<b>margin_low</b>	-5.3575	0.9827	-5.4519	0.0000	-7.2836	-3.4315
<b>margin_up</b>	-8.7177	2.1010	-4.1494	0.0000	-12.8355	-4.5999
<b>length</b>	5.6808	0.9094	6.2465	0.0000	3.8984	7.4633
<b>intercept</b>	-98.4322	257.7129	-0.3819	0.7025	-603.5402	406.6758

**Principe de parcimonie :** Expliquer la variable "cible" ("is\_genuine") avec un minimum de variables prédictives

Les résultats obtenus montrent que la variable "diagonal" principalement, et la variable "height\_left" en seconde intention, contribuent à l'explication de la variable "is\_genuine" de façon marginale.

On pourrait donc potentiellement s'affranchir de ces deux variables dans notre modèle

## **5 – Annexes**

# Annexe 5.1 : processus itératif de régression linéaire OLS

<code>:distance</code>	<code>count(X_train)</code>	<code>count(y_train)</code>	<code>count(reduced_X_train)</code>	<code>count(reduced_y_train)</code>	<code>updated_ols_r2</code>	<code>updated_shapiro_pvalue</code>	<code>count(y_test)</code>	<code>count(y_pred)</code>	<code>precision</code>
0.600000	1170	1170	1170	1170	0.473171	3.641788e-10	293	293	92.008314
0.500000	1170	1170	1170	1170	0.473171	3.641788e-10	293	293	92.008314
0.004000	1170	1170	1114	1114	0.534528	9.043207e-06	293	293	92.051856
0.003500	1170	1170	1098	1098	0.548862	2.198142e-05	293	293	92.053575
0.003000	1170	1170	1083	1083	0.566115	5.359341e-06	293	293	92.052002
0.002500	1170	1170	1057	1057	0.573017	2.829902e-05	293	293	92.065505
0.002000	1170	1170	1019	1019	0.590218	1.432584e-05	293	293	92.080038
0.001500	1170	1170	968	968	0.618124	1.097475e-05	293	293	92.093481
0.001000	1170	1170	883	883	0.670412	4.065772e-06	293	293	92.082485
0.000500	1170	1170	719	719	0.770866	4.064763e-05	293	293	92.070960
0.000200	1170	1170	518	518	0.857727	1.750023e-05	293	293	92.073097
0.000010	1170	1170	109	109	0.992247	2.173495e-02	293	293	92.027668
0.000009	1170	1170	105	105	0.992768	8.310307e-02	293	293	92.016637

## OLS LINEAR REGRESSION

<code>Count(X)</code>	1463.0
<code>Count(y)</code>	1463.0
<code>Count(X_train)</code>	105.0
<code>Count(y_train)</code>	105.0
<code>Count(X_test)</code>	293.0
<code>Count(y_test)</code>	293.0
<code>Count(y_pred)</code>	293.0
<code>R2 (First iteration)</code>	0.47
<code>R2 (Last iteration)</code>	0.99
<code>Shapiro pvalue</code>	0.08

`Précision` 92.02